

非線形多孔質弾性体中を伝わる圧縮波の伝播速度について

京都大学工学部 正員 後藤尚男
京都大学大学院 学生員○佐藤忠信

地震時の地盤の動的挙動を調べる場合、地盤を構成する物質を均質等方な線形弾性体とみなしその振動性状を解析する。しかし土木構造物の安全性に關係する地表層では層を構成する物質は地盤のそれに比べると非常に軟かく、かつ固体、液体、気体の3相から構成されているから、二のような物質を单一相からなる線形弾性体と考えるとはかなり大胆な仮定といえる。また地震時の地表層の動的挙動を解析するためには土の動的な物理定数と波動の伝播速度の關係が明らかにされなければならぬ。ここでは、地表層を構成する土を水で飽和された等方性の非線形多孔質弾性体と考え、二のような物質中を伝播する波動の伝播速度を求める第一段階として、圧縮波の非線形波動解について論ずる。

1. 圧縮波の存在条件

水で飽和された非線形多孔質弾性体を支配する運動方程式の筆者等による研究¹⁾によれば、基準座標系としてカルテシアン矩形座標を用いて、次式で運動方程式が与えられる。

$$\left. \begin{aligned} \rho_{11} \ddot{U}_I + \rho_{12} \ddot{V}_I + b (\dot{U}_I - \dot{V}_I) + \rho_0^s G_i^s &= \left(\frac{\partial W}{\partial U_{I,J}} \right)_J \\ \rho_{12} \ddot{U}_I + \rho_{22} \ddot{V}_I - b (\dot{U}_I - \dot{V}_I) + \rho_0^f G_i^f &= \left(\frac{\partial W}{\partial V_{I,J}} \right)_J \end{aligned} \right\} \quad (1)$$

ここで、 U_I : 弹性相の変位、 V_I : 流体相の変位、 W : 素全体のひずみエネルギー、 ρ_{11} , ρ_{12} : 引きずりを流れる流体の相対速度が一様でないことを考慮に入れた質量係数、 b : $\partial/\partial t$ 、 J : $\partial/\partial X_J$ 、 ρ_0^s , ρ_0^f : 弹性相と流体相の単位質量、 G_i^s , G_i^f : 弹性相と流体相の物体力、 b : ダルシー形減衰係数である。なお質量係数の間に次式が成立する。

$$\left. \begin{aligned} \rho_0^s &= \rho_{11} + \rho_{12}, \quad \rho_0^f = \rho_{12} + \rho_{22} \\ \rho_{11} > 0, \quad \rho_{22} > 0, \quad \rho_{12} < 0, \quad \rho_{11} \rho_{22} - \rho_{12}^2 > 0 \end{aligned} \right\} \quad (2)$$

式(1)で物体力、ダルシー形減衰を無視した場合について考える。いま座標 X_I を波動の伝播する方向と一致させれば、 $U_I = U_I(X_I, t)$, $V_I = V_I(X_I, t)$ と表わされる。この場合変位勾配 $U_{I,J}$, $V_{I,J}$ は $J=1$ 以外の場合はゼロにあるので $m_I = U_{I,1}$, $n_I = V_{I,1}$ なる変数を定義する。この場合、弹性相のひずみ不变量 I_E , II_E , III_E と流体相のひずみ不变量 I_f , II_f , III_f は

$$I_E = m_1 + \frac{1}{2}m_2^2 + \frac{1}{2}m_3^2 + \frac{1}{2}m_1^2, \quad II_E = -\frac{1}{4}(m_2^2 + m_3^2), \quad III_E = 0, \quad I_f = n_1 + \frac{1}{2}n_2^2, \quad II_f = 0, \quad III_f = 0 \quad (3)$$

と表わされるが、ひずみエネルギーは $W = W(I_E, II_E, III_E, I_f, II_f, III_f) = W(m_1, m_2^2 + m_3^2, n_1)$ と表わされる。 $J=2, 3$ に対し $\partial W / \partial m_J = 2M_J \partial W / \partial (m_2^2 + m_3^2)$ であるが $m_2 = m_3 = 0$ ならば $\partial W / \partial m_2 = \partial W / \partial m_3 = 0$ となり $U_2 \neq 0$, $U_3 \neq 0$, $V_2 \neq 0$, $V_3 \neq 0$ は式(1)を満たすことをにする。この場合方程式は体積変化のみを考慮したものとなり式(1)は次式のようになる。

$$\left. \begin{aligned} A_{11} M_{1,1} + B_{11} N_{1,1} - \dot{\zeta}_1 - \left(\frac{\rho_{12}}{\rho_{11}} \right) \dot{\eta}_1 &= 0, \quad C_{11} M_{1,1} + D_{11} N_{1,1} - \left(\frac{\rho_{12}}{\rho_{22}} \right) \dot{\zeta}_1 - \dot{\eta}_1 &= 0 \\ \dot{\zeta}_{1,1} - \dot{m}_1 &= 0, \quad \eta_{1,1} - \dot{n}_1 &= 0 \end{aligned} \right\} \quad (4)$$

ただし、 $\zeta_1 = \dot{U}_1$, $\eta_1 = \dot{V}_1$ であり、 A_{11} , B_{11} , C_{11} , D_{11} は次式で与えられる。

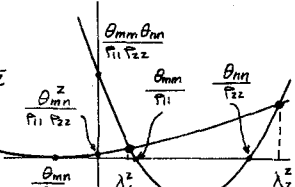
$$\left. \begin{array}{l} A_{11} = \theta_{mm}/\rho_{11}, \quad B_{11} = \theta_{mn}/\rho_{11}, \quad C_{11} = \theta_{nn}/\rho_{22}, \quad D_{11} = \theta_{nn}/\rho_{22} \\ \theta_{mm} = \partial^2 W / \partial m_1^2, \quad \theta_{mn} = \partial^2 W / \partial n_1 \partial m_1, \quad \theta_{nn} = \partial^2 W / \partial n_1^2 \end{array} \right\} \quad (5)$$

式(4)の特性曲線の勾配(圧縮波の伝播速度に相当)を入とすれば、次式で与えられる。

$$(\lambda^2 - \frac{\theta_{mm}}{\rho_{11}})(\lambda^2 - \frac{\theta_{nn}}{\rho_{22}}) - \frac{\rho_{12}^2}{\rho_{11}\rho_{22}} (\lambda^2 - \frac{\theta_{mn}}{\rho_{12}})^2 = 0 \quad (6)$$

右図と式(2)が⁵、式(6)が⁶正の2実根をもつための条件は次式で与えられる。
 $\theta_{mm} > 0, \quad \theta_{nn} > 0$

$$\theta_{mm}\theta_{nn} - \theta_{mn}^2 > 0 \quad (7)$$



以上の二つから水で飽和された非線形多孔質弹性体中を伝播する圧縮波には、ひずみの適当な条件下で、2つの波が存在することになる。これは Biot が線形理論で求めた結果²⁾をも包含する関係式である。

2. 圧縮波の伝播速度に関する考察

式(6)の一般的傾向を知るために、ひずみエネルギーを m_1, n_1 で3次の項までテーラー展開しそれによって起る非線形性について考察する。 $\theta_{mm}, \theta_{mn}, \theta_{nn}$ は W を m_1, n_1 で2階微分したものであるから、おのおのの近似値としては m_1, n_1 の1次の本数までで十分である。

$$\left. \begin{array}{l} \theta_{mm} = (\lambda + z\mu) + \{3(\lambda + z\mu) + 6L\}m_1 + (R + zf_2)n_1 + \dots \\ \theta_{mn} = R + (R + zf_2)m_1 + (R + zf_3)n_1 + \dots, \quad \theta_{nn} = Q + (3Q + 6L)n_1 + (R + zf_3)m_1 + \dots \end{array} \right\} \quad (8)$$

$= i, \lambda, \mu, L$: 弹性相の弾性係数, Q, L : 流体相の弾性係数, R, f_2, f_3 : 弹性相と流体相のひずみの coupling を表す定数である。式(8)を式(6)に代入し入につけ解くと次式

$$\lambda_1^2 = p_1^2 + g_1^2 m_1 + r_1^2 n_1 + \dots, \quad \lambda_2^2 = p_2^2 + g_2^2 m_1 + r_2^2 n_1 + \dots \quad (9)$$

をうる。ここで p_i, g_i, r_i ($i=1, 2$) は式(8)に現われる各係数の複合された関数である。式(9)は液体相あるいは弹性相内を伝播する圧縮波の伝播速度をひずみの関数として表示したものである。式(9)で $m_1, n_1 \rightarrow 0$ とすれば $\lambda_1^2 = p_1^2, \lambda_2^2 = p_2^2$ となり微小ひずみ理論の解析結果より p_1 は液体相を伝播する, p_2 は弹性相を伝播する圧縮波の伝播速度であることがわかつているから、非線形波動においても人が液体相を、人2が弹性相を伝播する圧縮波の伝播速度を考えることができる。なお液体相のひずみと弹性相のひずみは独立に存在せず m_1 と n_1 の間には特性曲線上に沿って次式が成立する。

$$\frac{dm_i}{dn_i} = \frac{D_{11} - \lambda_i^2}{C_{11} - \lambda_i^2 - (\frac{\rho_{12}}{\rho_{22}})} = \frac{P_i + S_i n_i + T_i m_i}{A_i + B_i n_i + C_i m_i} \quad (i=1, 2) \quad (10)$$

ここで、 $A_i, B_i, C_i, P_i, S_i, T_i$ は $\rho_{11}, \rho_{12}, \rho_{22}$ ならびに式(8)に現われる各係数の複合された関数である。式(10)は同次形の微分方程式で積分可能である。これから求まる m_1 と n_1 の関係式を式(9)に代入すれば伝播速度が弹性相あるいは液体相のひずみによって表示できることになる。なお式(7)の条件が成立すると、式(4)は totally hyperbolic となり、特性曲線は直線となるから境界条件として液体相あるいは弹性相のひずみが与えられれば、式(9)を用いて X_1 - t 平面内の変位が決定できる。以上はひずみの1次近似のもとで圧縮波の伝播速度を表示したが、もっと高次の場合にも同様に考察を行なうことができる。

1) 稲藤・土岐・佐藤, 防災研究所年報 1971(投稿中), 2) M.A. Biot, J. Acous. Soc. Amer., vol. 28, No. 2, p168, 1956